

Thales Oliveira Arakawa

# **Aplicação do MPI ao Método das Diferenças Finitas**

Universidade Federal Fluminense - UFF

Campus Volta Redonda

Instituto de Ciências Exatas

Brasil

2 de fevereiro de 2022

# Resumo

Este trabalho vem propor uma análise sobre processamento paralelo através das da API MPI (*Message Passing Interface*). Utilizando-se de um algoritmo de resolução de Equações Diferenciais Parciais, através do método da diferença finita, poderemos observar como é impactado um processamento paralelo, via MPI, quando os dados que são distribuídos possuem dependência entre si. Para isso, o programa em sua versão serial deverá estar o mais otimizado possível, sempre considerando a aritmética realizada por um processador e também as computações desnecessárias. Dito isso veremos que o resultado obtido via MPI é o mesmo que o do OpenMP, sendo que cada um possui sua eficiência para alcançar seu objetivo, que é a resolução da equação diferencial parcial de Laplace.

**Palavras-chaves:** Método das Diferenças Finitas, EDP, HPC, MPI, paralelismo.

# Sumário

<b>Sumário</b>	<b>3</b>
<b>1 INTRODUÇÃO</b>	<b>4</b>
<b>2 OBJETIVOS</b>	<b>5</b>
<b>3 FUNDAMENTOS TEÓRICOS</b>	<b>6</b>
3.1 Método das Diferenças Finitas	6
3.1.1 A Diferença Finita	6
3.1.2 O Método	7
3.1.3 OpenMP	8
3.1.4 MPI	9
<b>4 METODOLOGIA</b>	<b>10</b>
4.1 A Equação Diferencial Parcial	10
4.2 Discretização	10
4.3 Método da Relaxação	11
4.4 Paralelização - MPI	12
4.5 Determinando Condição de Contorno	12
4.6 Computadores	12
<b>5 FLUXOGRAMA</b>	<b>14</b>
<b>6 ANÁLISE DO PROGRAMA SERIAL</b>	<b>15</b>
6.1 Determinando as melhores <i>flags</i>	15
6.2 Perfil do Programa Serial	15
6.3 Otimização do Programa Serial	15
<b>7 IMPLEMENTAÇÃO DO MPI</b>	<b>17</b>
<b>8 RESULTADOS</b>	<b>19</b>
<b>9 VALIDAÇÃO DOS RESULTADOS</b>	<b>25</b>
<b>10 CONCLUSÃO</b>	<b>28</b>
<b>REFERÊNCIAS</b>	<b>29</b>

# 1 Introdução

Muita das vezes, nas ciências exatas, não é possível obter soluções analíticas para os problemas. Diante deste fato, muitos matemáticos buscam compreender e desenvolver ferramentas para obter um resultado aproximado.

Um exemplo é o método das diferenças finitas, que faz o uso das séries de Taylor; que é talvez a ferramenta de aproximação matemática mais comumente utilizada. Este método busca obter uma solução, não exata, para as equações diferenciais parciais. Porém a solução para uma EDP abrange os infinitos pontos em que esta é válida e da forma que o método das diferenças finitas é proposto deveríamos calcular o maior número de pontos possíveis, de forma que através de lápis e papel seja um processo árduo.

É para esses métodos recursivos e massivos que o computador se torna uma solução. Podendo realizar milhões de cálculos por segundo este é capaz de resolver este trabalho árduo num curto espaço de tempo.

Com a evolução dos processadores, que regem essas máquinas, chegamos ao ponto em que se desenvolve a computação paralela. Procedimento este em que existem diversos componentes realizando cálculos simultaneamente.

Para implementar a computação paralela foram desenvolvidas API's (Application Programming Interface), como o OpenMP e o MPI, que são capazes de serem implementados aos códigos, ditos seriais, e possibilitar a paralelização dos procedimentos matemáticos realizados pelo mesmo.

## 2 Objetivos

Este trabalho vem com o intuito de analisar a escalabilidade do método das diferenças finitas, para resolução de EDP's, através da utilização da API MPI e comparar sua performance com uma versão semelhante em OpenMP.

## 3 Fundamentos Teóricos

### 3.1 Método das Diferenças Finitas

#### 3.1.1 A Diferença Finita

A Diferença Finita nada mais é do que uma aproximação, para as derivadas, utilizando-se da série em expansão de Taylor, ou seja:

$$f(x_i + h_x) = \sum_n^{\infty} f^n(x_i) \frac{h_x^n}{n!} = f(x_i) + h_x f'(x_i) + h_x^2 \frac{f''(x_i)}{2} + \dots \quad (3.1)$$

onde  $h_x = x - x_i$ . A Equação 3.1 é dita progressiva, temos também a sua forma regressiva, dada por:

$$f(x_i - h_x) = \sum_n^{\infty} f^n(x_i) \frac{(-h_x)^n}{n!} = f(x_i) - h_x f'(x_i) + h_x^2 \frac{f''(x_i)}{2} + \dots \quad (3.2)$$

Da diferença entre as Equações 3.1 e 3.2, obtemos a forma centrada (Eq. 3.3) que tem como característica uma convergência mais abrupta, uma vez que os termos  $h_x$  de ordem par se cancelam.

$$f(x_i + h_x) - f(x_i - h_x) = 2h_x f'(x_i) + 2h_x^3 \frac{f'''(x_i)}{6} + \dots \quad (3.3)$$

Determinando  $h_x < 1$ , de forma que  $h_x^3 \ll 1$ , teremos então uma aproximação de  $f'(x_i)$  dada por:

$$f(x_i + h_x) - f(x_i - h_x) \approx 2h_x f'(x_i) \Rightarrow f'(x_i) \approx \frac{f(x_i + h_x) - f(x_i - h_x)}{2h_x}. \quad (3.4)$$

Definiremos então, a diferença finita centrada de ordem 1 (UFRGS, 2020), como:

$$D_{i,h_x} f(x_i) := \frac{f(x_i + h_x) - f(x_i - h_x)}{2h_x} \quad (3.5)$$

Para a derivada de segunda ordem, fazamos a soma entre as Equações 3.1 e 3.2, obtendo-se assim:

$$f(x_i + h_x) + f(x_i - h_x) = 2f(x_i) + h_x^2 f''(x_i) + h_x^4 \frac{f''''(x_i)}{12} + \dots, \quad (3.6)$$

uma vez que  $h_x < 1$  e, portanto,  $h_x^4 \ll 1$ , eliminaremos os termos de quarta ordem e superiores, obtendo a aproximação:

$$f''(x_i) \approx \frac{f(x_i + h_x) - 2f(x_i) + f(x_i - h_x)}{h_x^2} \quad (3.7)$$

que é por onde definiremos a diferença finita de ordem 2 ([UFRGS, 2020](#)), como:

$$D_{i,h_x}^2 f(x_i) := \frac{f(x_i + h_x) - 2f(x_i) + f(x_i - h_x)}{h_x^2} \quad (3.8)$$

### 3.1.2 O Método

O método das diferenças finitas é utilizado para resolução de EDP's, principalmente, quando esta não possui solução analítica. O objetivo é obter uma solução aproximada através da implementação das diferenças finitas. Tomemos como exemplo o operador laplaciano para duas dimensões, onde

$$\nabla^2 f = \frac{\partial^2 f}{\partial x^2} + \frac{\partial^2 f}{\partial y^2}. \quad (3.9)$$

Substituindo as derivadas parciais pela diferença finita, dada pela equação 3.8, teremos então:

$$\begin{aligned} \nabla^2 f \approx & \frac{f(x_i + h_x, y_j) - 2f(x_i, y_j) + f(x_i - h_x, y_j)}{h_x^2} \\ & + \frac{f(x_i, y_j + h_y) - 2f(x_i, y_j) + f(x_i, y_j - h_y)}{h_y^2}. \end{aligned} \quad (3.10)$$

Para a equação de Laplace, teríamos então:

$$\begin{aligned} & \frac{f(x_i + h_x, y_j) - 2f(x_i, y_j) + f(x_i - h_x, y_j)}{h_x^2} \\ & + \frac{f(x_i, y_j + h_y) - 2f(x_i, y_j) + f(x_i, y_j - h_y)}{h_y^2} \approx 0 \end{aligned} \quad (3.11)$$

Uma vez que buscamos a solução de uma EDP, nosso objetivo então é determinar  $f(x, y)$ , logo o isolamos e obtemos:

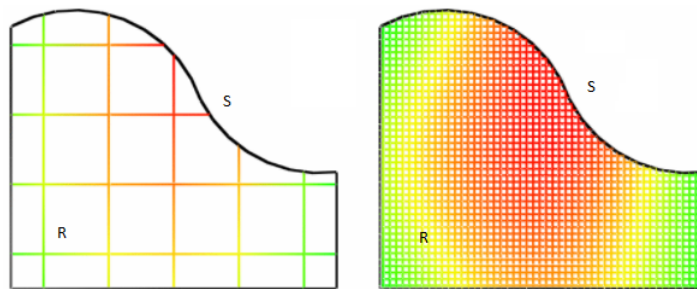
$$f(x_i, y_j) \approx \frac{h_y^2 [f(x_i + h_x, y_j) + f(x_i - h_x, y_j)] + h_x^2 [f(x_i, y_j + h_y) + f(x_i, y_j - h_y)]}{2(h_x^2 + h_y^2)}. \quad (3.12)$$

Como para toda EDP, esta possui região(**R**) em que a solução é válida e também as condições de contorno(**S**). Uma vez que desconhecemos o comportamento da  $f(x, y)$ ,

poderíamos atribuir quaisquer valores a ela e para cada ponto utilizaríamos a equação 3.12 para atualizar o valor relativo a este ponto. Será necessário então realizar uma varredura em todos os pontos da região em que a EDP se encontra até que, por convergência, a solução seja obtida.

O processo de determinar quais pontos serão computados, é chamado de discretização. É construído uma malha sobre região de tal forma que seu espaçamento horizontal seja de  $h_x$  e vertical de  $h_y$

Figura 1 – Discretização de uma Região.



Fonte: Alto Qi.

### 3.1.3 OpenMP

O OpenMP é uma API, criada em 1997 para Fortran, que possibilita a paralelização de um código serial. Através de diretivas compostas por construtores e cláusulas adicionadas ao código e um compilador que possua suas bibliotecas o programa poderá ter sua atividade dividida entre os processadores virtuais (*threads*) disponíveis para computação (OPENMP, 2012a).

Atualmente o OpenMP possui suporte à Fortran, C/C++, Java, Python e outras linguagens mais (OPENMP, 2012b).

Figura 2 – Exemplo de criação de região paralela.

```
#pragma omp parallel
{
    do{
        erro=opDif(map,data,erro);
    }while(tol<erro);
}
```

Fonte: Autor.

A partir do momento que uma diretiva "#pragma omp parallel" é inserida no programa, é criada uma região paralela. Nesta região poderemos utilizar algumas funções



da biblioteca do OpenMP de forma a obter a quantidade de *threads* disponíveis e o número de identificação de cada uma. Fora dessa região o programa irá se comportar de forma serial. Além dessas funções básicas o OpenMP fornece diretivas mais inteligentes baseadas em algoritmos canônicos, como a varredura de vetores e matrizes através de *loops*.

### 3.1.4 MPI

O MPI é uma API, criada em 1993. Assim como o OpenMP ele é capaz de paralelizar um código, porém ao contrário do OpenMP, o MPI é capaz de estender este paralelismo para além de um único *socket*, chamado de nó. Uma outra diferença importante é o modelo topológico ao qual segue essas API's. Sendo uma de memória compartilhada (OpenMP), onde os *core's* tem acesso ao mesmo endereço de memória. a outra é de memória distribuída (MPI), onde os *core's* possuem um espaço reservado de memória para cada de forma que, quando necessário, uma comunicação deve ser atribuída entre estes para que um código seja processado.(FILHO, 2002)

Figura 3 – Exemplo programa com diretivas MPI.

```
MPI_Init(&argc, &argv);
MPI_Comm_size(MPI_COMM_WORLD, &size);
MPI_Comm_rank(MPI_COMM_WORLD, &rank);

if(rank==0){
    strcpy(message, "Hello, world");
    for(i=1; i<size; i++){
        MPI_Send(message,13,MPI_CHAR, i, type, MPI_COMM_WORLD);
    }
}
else{
    MPI_Recv(message, 13, MPI_CHAR, 0, type, MPI_COMM_WORLD, &status);
}
printf("Message from node =%d :%.13s \n", rank, message);
MPI_Finalize();
```

Fonte: Autor.

O MPI distribuí para todos os trabalhadores/*core's* disponíveis o código a ser processado. Portanto, se não houver condições ligadas a identificação de cada trabalhador, todos irão realizar os mesmos procedimentos.

## 4 Metodologia

### 4.1 A Equação Diferencial Parcial

A EDP utilizada para implementação do método de diferenças finitas, será a equação de Laplace (Eq. 3.9). Esta é uma equação diferencial que pode ser encontrada em todas as áreas da física, uma vez que esta procura determinar o fluxo de um campo de forças conservativo, ou seja um campo tal que possua função potencial. O trabalho abordará o contexto da eletrostática, onde:

$$\nabla^2\Phi = \nabla \cdot \vec{\nabla}\Phi = -\nabla \cdot \vec{E} = 0, \quad (4.1)$$

onde  $\Phi$  é o potencial eletrostático e a Equação 4.2 é a equação de Laplace para este potencial. Vale lembrar que, das equações de Maxwell, que:

$$\nabla^2\Phi = -\nabla \cdot \vec{E} = -\frac{\rho}{\epsilon_0}, \quad (4.2)$$

portanto no problema a ser desenvolvido estará ausente de cargas. Portanto para a implementação do método das diferenças finitas, a equação utilizada (Eq. 3.12) será aquela abordada na sessão 3.1.1

### 4.2 Discretização

Sendo a região a ser trabalhada bidimensional então uma estrutura matricial seria de grande conveniência. Porém, ao invés de se utilizar da sua forma convencional, foi criada uma variável do tipo *struct*, através da linguagem C, onde essa estrutura é apresentada na Figura 4.

Figura 4 – Monômero da estrutura matricial.

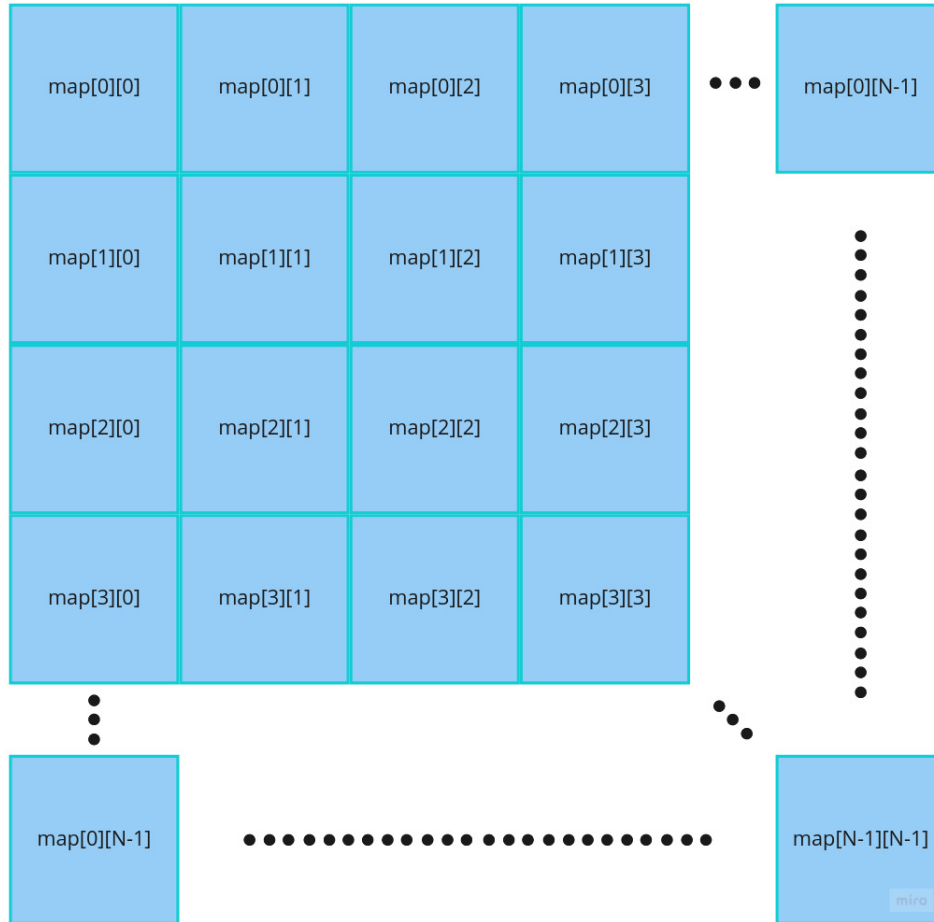
```
struct quad
{
    int cc;
    double a;
    double d;
};
```

Fonte: Autor.

Essa variável nada mais é que um monômero para uma estrutura maior, que se dá como uma matriz convencional em C, como na Figura 5. Porém, cada célula dessa matriz

irá carregar o status de ser um ponto da região de contorno ( $cc$ ), o valor que este ponto possui atualmente ( $a$ ) e o valor que possuirá após a varredura ( $d$ ).

Figura 5 – Matriz de *struct*



Fonte: Autor.

A vantagem que essa abordagem fornece é a versatilidade de cada célula carregar os valores e condições que o método exige. Além de se comportar como uma matriz canônica em C, possibilitando uma compatibilidade com o MPI.

### 4.3 Método da Relaxação

Para solucionar a EDP, será utilizado o método da relaxação. Uma vez que já possuímos a relação matemática que cada ponto da malha deve obedecer, dado pela equação 3.12, bastará realizar varreduras sobre a mesma e ir atualizando os valores pontuais, sendo esperado a convergência, quando a variação dos valores atualizados forem suficientemente pequenos a solução numérica será entregue.

## 4.4 Paralelização - MPI

O MPI é uma API que possui diretivas que possibilitam em distribuir tarefas para cada *core*, sendo estes pertencentes a um mesmo *socket* ou não.

Pelo propósito do método utilizado será realizado uma divisão para cada *core* de forma que cada um deste receberá uma parcela da matriz principal.

Essa divisão se dá pela diretiva *Scatterv*, que possibilita uma distribuição não igualitária entre os mesmos.

Figura 6 – Separado a Matriz Principal.

```
//Trabalho único para o mestre
if(my_rank == 0){
    struct quad map[N][N];
    //Importa Condição de Contorno de um arquivo em ASCII
    importCC(map);
    //Vetor com o número de elementos que cada processo possuirá
    int counts[size];
    //Vetor com os deslocamentos sobre o buffer a ser aplicado o Scatterv
    int displacements[size];
    for(i=0;i<size;i++){
        counts[i]=(i < N%size) ? N*((int)(N/size) + 1) : N*(int)(N/size);
        displacements[i]=(i>(N%size)) ? N*(i*(int)(N/size) + N%size) : N*i*((int)(N/size) + 1) ;
        printf("\n i %d counts %d displa %d",i,counts[i],displacements[i]);
    }
    //Separando matriz por tamanhos diferentes
    MPI_Scatterv(map, counts, displacements, quad_type, own_map, trabalho, quad_type, 0, MPI_COMM_WORLD);
}
else
{
    MPI_Scatterv(NULL, NULL, NULL, quad_type, own_map, trabalho, quad_type, 0, MPI_COMM_WORLD);
}
```

Fonte: Autor.

## 4.5 Determinando Condição de Contorno

Para determinar a condição de contorno para a equação de Laplace, para a eletrostática, utilizou-se de um recurso que converte uma imagem em ASCII (protocolo de codificação). O recurso se encontra disponível na internet (<<https://www.dcode.fr/binary-image>>), basta realizar o *upload* da imagem e escolher a escala relativa, desejada. Neste trabalho foi utilizado a logo da UFF (Universidade Federal Fluminense), que na modelagem se encontrará em potencial constante de 100V e enclausurada a uma caixa aterrada.

## 4.6 Computadores

Para testar os programas e observar a escalabilidade quanto ao paralelismo, utilizamos:

- 1) Nós do supercomputador Santos Dumont (SDumont) do Laboratório Nacional de Computação Científica(LNCC, ).

a) B710

\* 2 x CPU Intel Xeon E5-2695v2 Ivy Bridge, 2,4Ghz

Figura 7 – Condição de contorno fora de escala.

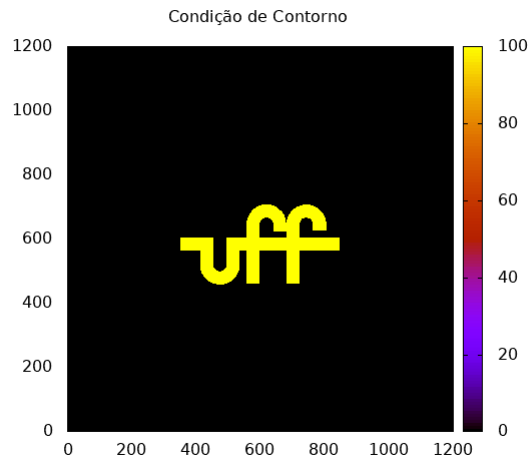


Figura 8 – Fonte: Autor.

- \* 24 núcleos (12 por CPU), totalizando de 12.096 núcleos
- \* 64GB DDR3 RAM

b) Sequana

- \* 2x Intel Xeon Cascade Lake Gold 6252
- \* 48 núcleos (24 por CPU)
- \* 384Gb de memória RAM

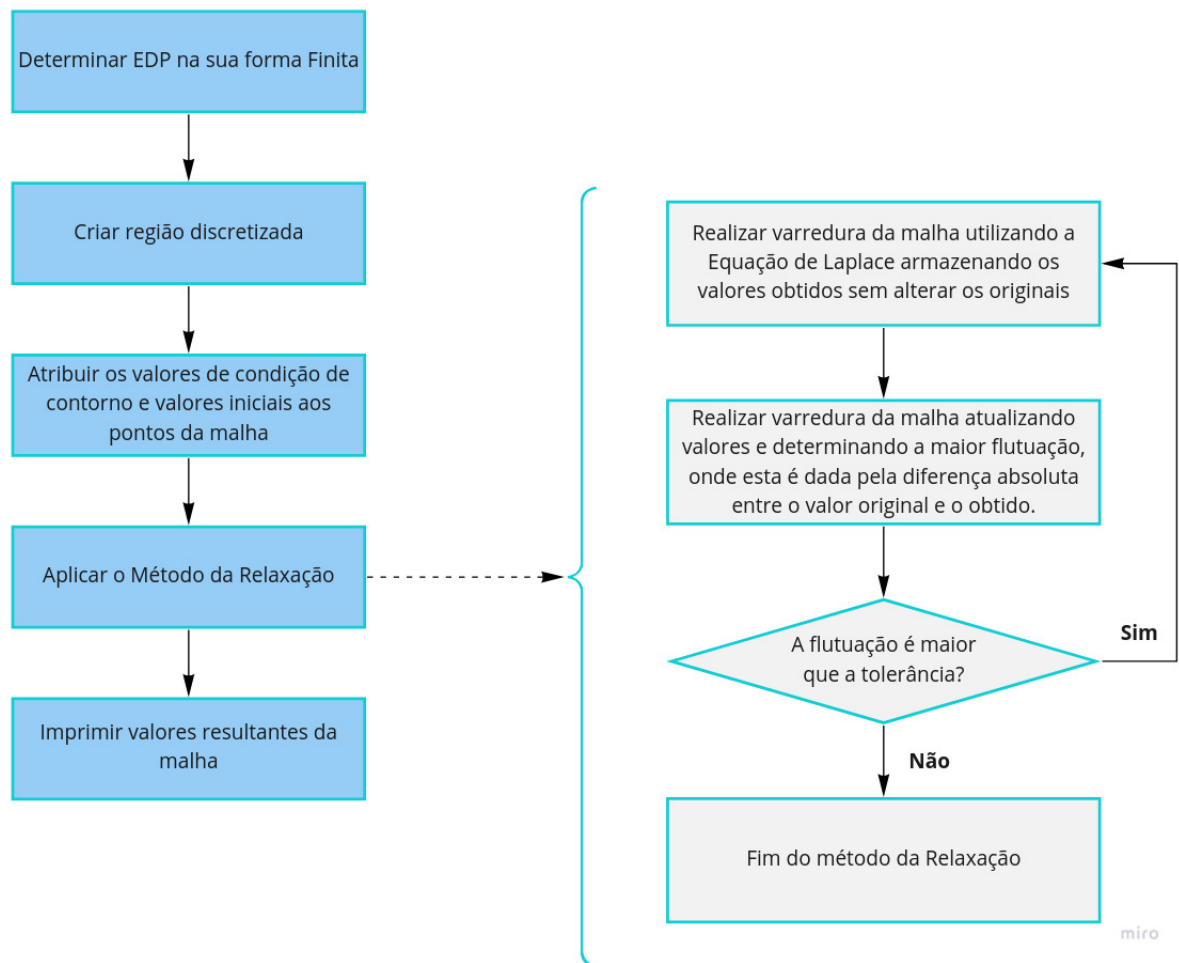
2) Computador do laboratório 107 da Universidade Federal Fluminense (UFF).

- Intel I7-200 Little Endian, 3.4Ghz
- 4 núcleos double-thread
- 4Gb de memória RAM

## 5 Fluxograma

A Figura 9 apresenta como se dará a implementação do programa.

Figura 9 – Fluxograma do método de diferenças finitas, com o uso da relaxação.



Fonte: Autor.

## 6 Análise do Programa Serial

### 6.1 Determinando as melhores *flags*

Foram testadas, apenas, as *flags* de otimização padrão do compilador *GNU Compiler Collection* (GCC).

Benchmark Serial	
Flag	Tempo (s)
O0	992,947
O1	261.831
O2	258,297
O3	262,498

Tabela 1

### 6.2 Perfil do Programa Serial

Como esperado, devido sua construção, as funções responsáveis pela varredura por trás do método da relaxação, chamada de *opDif* e *att*, é a que mais representa para o tempo total de execução, 99.9%.

Figura 10 – Perfil gerado pelo programa GNU profiler.

index	% time	self	children	called	name
<spontaneous>					
[1]	100.0	0.00	95.72		main [1]
		52.12	0.00	45416/45416	att [2]
		43.60	0.00	45416/45416	opDif [3]
		0.00	0.00	1/1	importCC [4]
		0.00	0.00	1/1	printMap [5]
-----					
[2]	54.4	52.12	0.00	45416	main [1]
		52.12	0.00	45416	att [2]
-----					
[3]	45.6	43.60	0.00	45416/45416	main [1]
		43.60	0.00	45416	opDif [3]
-----					
[4]	0.0	0.00	0.00	1/1	main [1]
		0.00	0.00	1	importCC [4]
-----					
[5]	0.0	0.00	0.00	1/1	main [1]
		0.00	0.00	1	printMap [5]
-----					

Fonte: Autor.

### 6.3 Otimização do Programa Serial

Como podemos ver o perfil do programa através da Figura 10, 99,9% do programa se concentrava em duas funções. Sendo necessária a varredura completa da matriz e a atualização da mesma.

Quanto aos cuidados sobre a otimização das operações matemática, estas já haviam sido implementadas, uma vez que é relativamente comum problemas dado pela divisão e multiplicação de uma variável de ponto flutuante por uma inteira. Portanto todas essas operações já estavam dadas por decimais.

No mais a alteração feita, foi a remoção de funções que auxiliavam a verificar o funcionamento do programa e os comentários com o mesmo fim.



## 7 Implementação do MPI

Uma vez que o Método das Diferenças Finitas possui uma dependência dos dados com seus vizinhos, é necessário a implementação da comunicação dos trabalhadores. E como a intenção é paralelizar esse método, é exigido também a divisão da matriz para todos os trabalhadores/*threads* disponíveis.

Toda a comunicação feita através das diretivas do MPI é necessário declarar o tipo de variável que será transitada. A variável utilizada é do tipo *struct*. Para que o MPI reconheça esse tipo de variável é necessário parametrizá-lo como podemos ver na Figura 11.

Figura 11 – Matriz de *struct*

```
MPI_Datatype quad_type;
int lengths[3] = { 1, 1, 1 };
MPI_Aint displacements[3];
struct quad dummy_quad;
MPI_Aint base_address;
MPI_Get_address(&dummy_quad, &base_address);
MPI_Get_address(&dummy_quad.cc, &displacements[0]);
MPI_Get_address(&dummy_quad.a, &displacements[1]);
MPI_Get_address(&dummy_quad.d, &displacements[2]);
displacements[0] = MPI_Aint_diff(displacements[0], base_address);
displacements[1] = MPI_Aint_diff(displacements[1], base_address);
displacements[2] = MPI_Aint_diff(displacements[2], base_address);

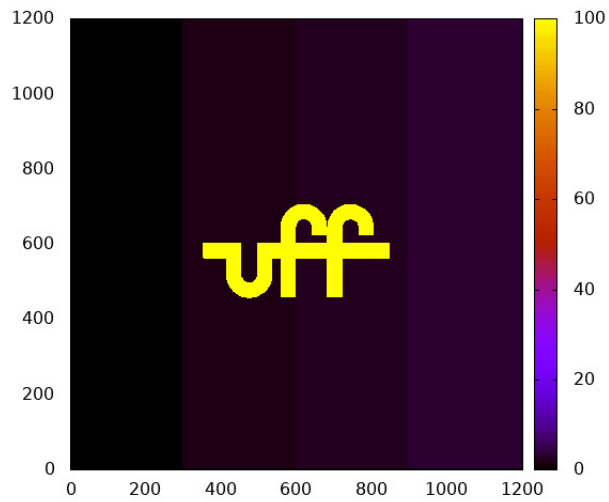
MPI_Datatype types[3] = { MPI_INT, MPI_DOUBLE, MPI_DOUBLE };
MPI_Type_create_struct(3, lengths, displacements, types, &quad_type);
MPI_Type_commit(&quad_type);
```

Fonte: Autor.

Onde o vetor *lengths* contém o tamanho de  $x$  variáveis para cada item do *struct* e o vetor *displacements* terá a posição de memória relativa para cada item do *struct*. Para isso é utilizado a função *Get address* que obtém o endereço de memória e posteriormente a função *Aint diff* nos dá o deslocamento de memória de um item em relação ao endereço base. Cria-se o vetor que contém os tipos de dados padrão para o MPI. Por final, com todos os parâmetros definidos, cria-se um tipo de dado para o MPI que se comporta como o *struct*, podendo-se assim utilizar as outras funções de comunicação do MPI. Para a divisão e união das informações distribuídas entre os trabalhadores, foi utilizado as diretivas *Scatterv* e *Gatherv*, que possibilita uma divisão não igualitária entre os mesmos. Esta versão do *Scatter* e *Gather* foi escolhida para que o programa possa ser escalado por qualquer número de *core*'s. Podemos ver na Figura 12 a divisão sendo feita entre quatro trabalhadores.

Para a comunicação entre os trabalhadores, utilizou-se as diretivas *Send* e *Recv*, como na Figura 13. Essas funções de comunicação eram convocadas em toda a varredura que cada *core* fazia.

Figura 12 – Separação da Malha em *threads*.



Fonte: Autor.

Figura 13 – Separação da Malha em *threads*.

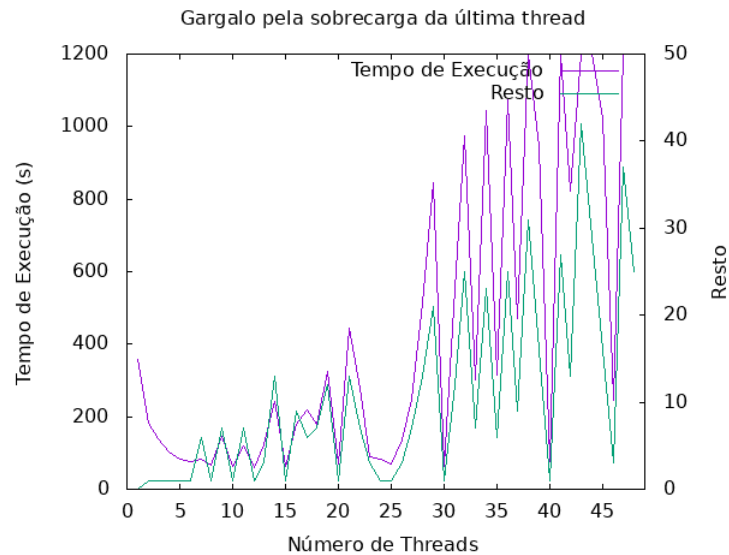
```
if(my_rank!=0){
    MPI_Send(&A[0][0],N,quad_type, my_rank-1, 99, MPI_COMM_WORLD);
    MPI_Recv(&aux1[0], N, quad_type, my_rank-1, 99, MPI_COMM_WORLD, &status);
}
if(my_rank!=size-1)
{
    MPI_Send(&A[nLin-1][0],N,quad_type, my_rank+1, 99, MPI_COMM_WORLD);
    MPI_Recv(&aux2[0], N, quad_type, my_rank+1, 99, MPI_COMM_WORLD, &status);
}
```

Fonte: Autor.

## 8 Resultados

A primeira versão do programa, em OpenMP, dividia o número de linhas (que graficamente se encontram na vertical) pelo número de *threads* e se houvesse resto nesta divisão este era todo acumulado na última *thread*. Dessa forma havia uma sobrecarga na última *thread* e portanto um gargalo proporcional ao resto dessa divisão, como podemos ver na Figura 14 o tempo de execução no SDumont (LNCC), correspondente ao Sequana.

Figura 14 – Ausência de escalabilidade devido a má divisão das regiões da malha. Pontos acima de 20 minutos foram execuções interrompidas por tempo limite.



Fonte: Autor. Dados gerados no Sequana/LNCC.

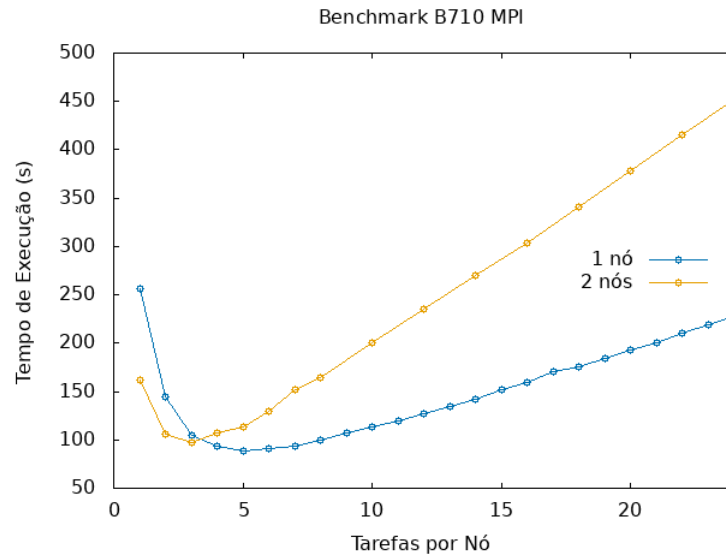
Através das diretivas *Scatterv* e *Gatherv* junto de seus parâmetros é possível, com o auxílio de um código, distribuir as tarefas sem que haja sobrecarga de algum trabalhador, como podemos ver na Figura 15, resultado do processamento no B710. A suavidade da curva de escalabilidade nos permite induzir que não há um acúmulo de tarefa para algum *core*. De forma análoga também podemos ver o gráfico das informações do Sequana, Figura 16.

Para comparar a performance dos computadores disponíveis utilizando o MPI, foi gerado o gráfico dado pela Figura 17 que contém as curvas dos computadores utilizados em nó único.

A comparação entre a escalabilidade entre a versão OpenMP e MPI se dá entre as Figuras 17 e 18

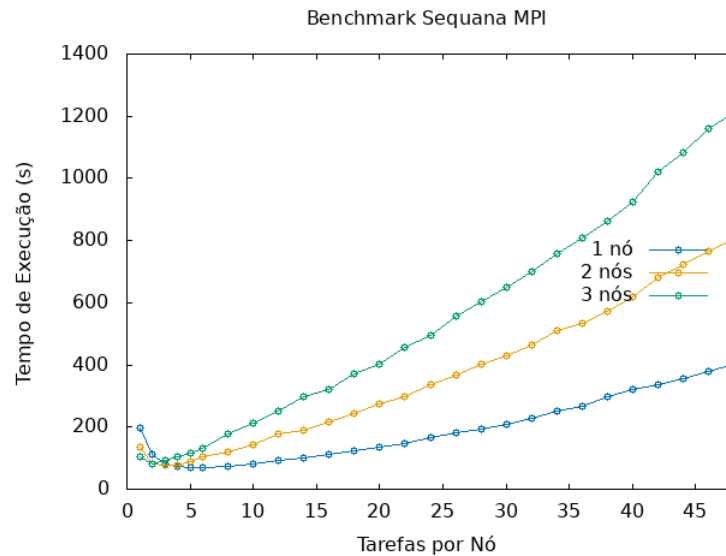
É de grande importância, ressaltar que os dados respectivos ao tempo de execução e eficiência, foram gerados sobre uma matriz 600x600 com uma tolerância sobre a máxima

Figura 15 – Escalabilidade do programa em MPI.



Fonte: Autor. Dados gerados no B710/LNCC.

Figura 16 – Escalabilidade do programa em MPI.



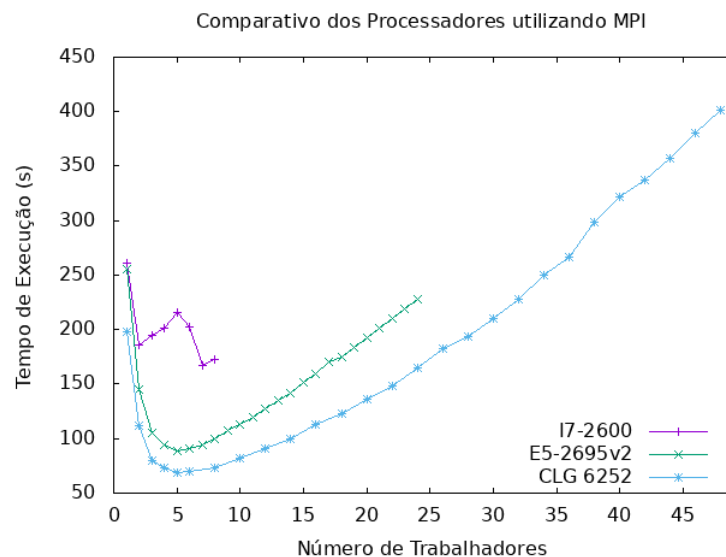
Fonte: Autor. Dados gerados no Sequana/LNCC.

flutuação de  $10^{-5}V$ .

Devido a dependência dos dados e a necessidade de comunicação durante as varreduras, podemos perceber uma menor eficiência do MPI quanto a escalabilidade. Figura 20 e 21.

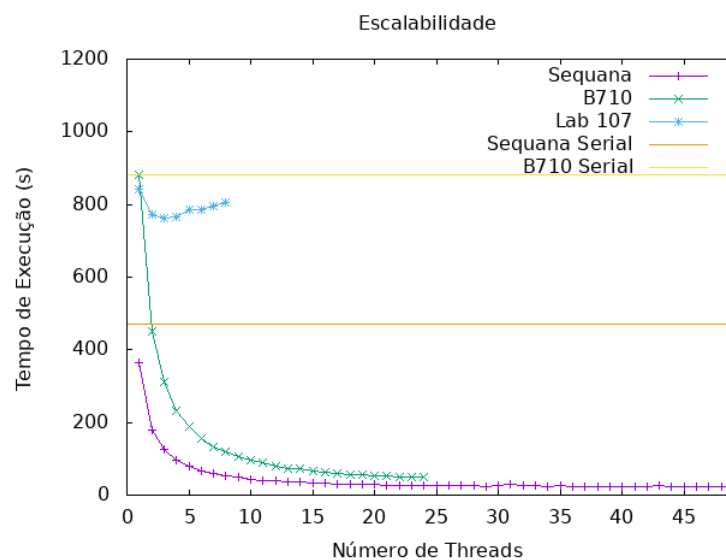
Partindo de um condição de contorno dada pela Figura 8, obtivemos os resultados dados pelas Figuras 22, 23 e 24, onde, respectivamente, suas tolerâncias quanto à flutuação eram de  $10^{-1}V$ ,  $10^{-3}V$  e  $10^{-5}V$ . Para esses resultados a matriz utilizada foi de dimensão 1200x1200.

Figura 17 – Tempo de Execução dos computadores do Laboratório 107(UFF) dos nós Sequana e B710(LNCC) com MPI.



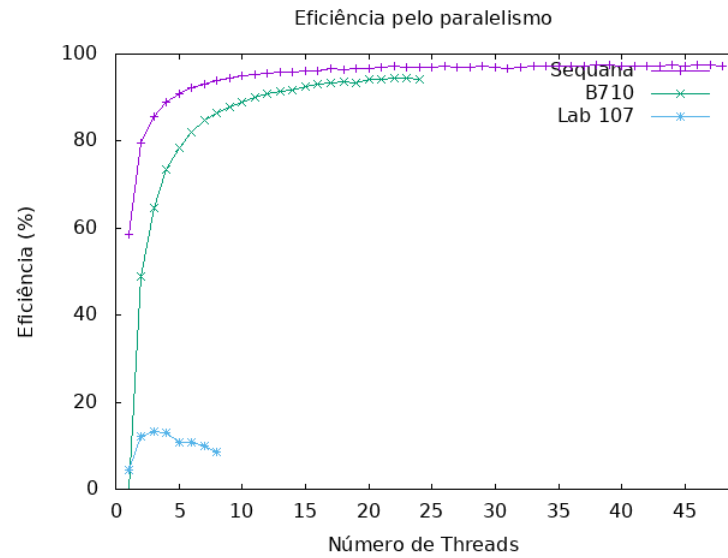
Fonte: Autor.

Figura 18 – Tempo de Execução dos computadores do Laboratório 107(UFF) dos nós Sequana e B710(LNCC) com OpenMP.



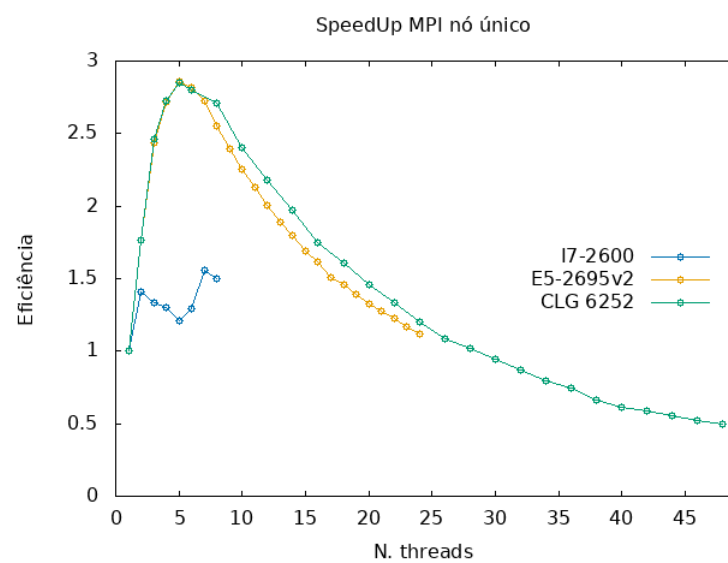
Fonte: Autor.

Figura 19 – Eficiência tendo como referência o tempo de um nó e tarefa única no Lab 107.



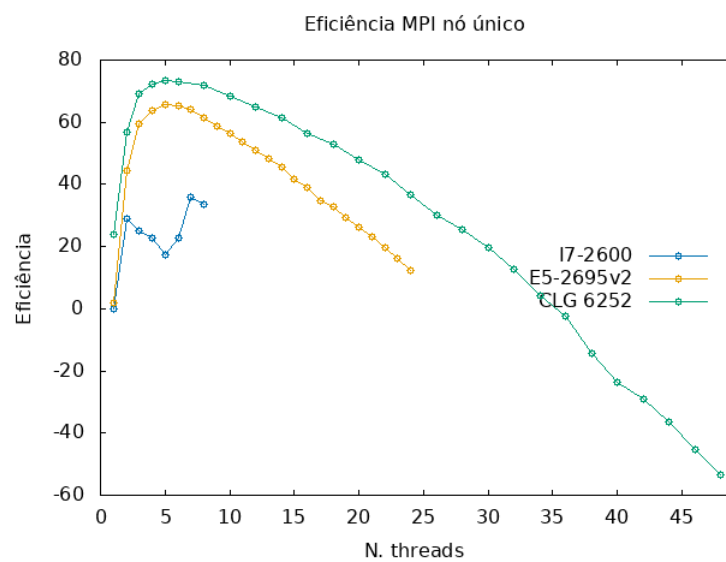
Fonte: Autor.

Figura 20 – SpeedUp do MPI em nó único.



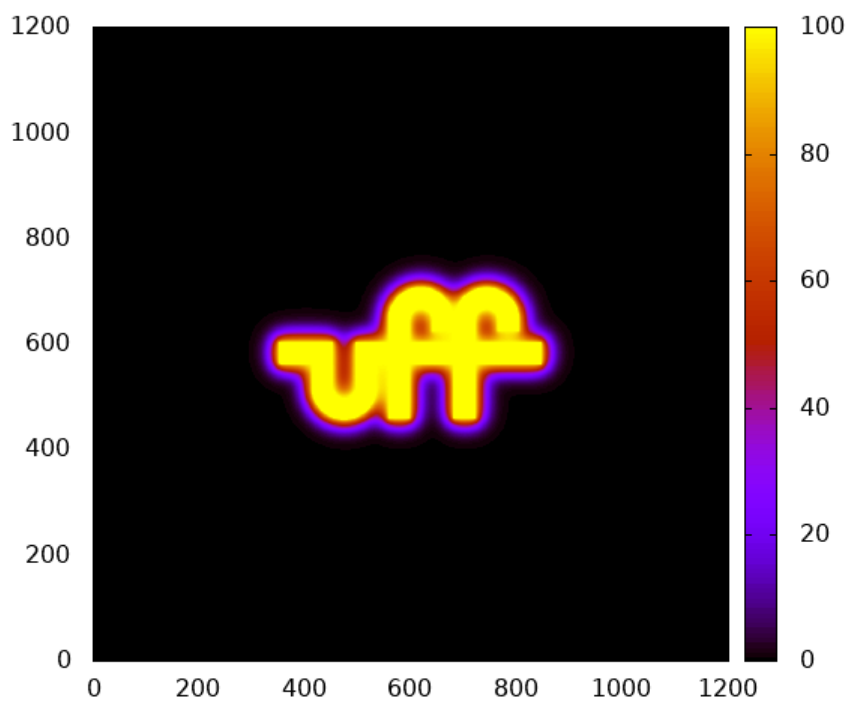
Fonte: Autor.

Figura 21 – Eficiência tendo como referência o tempo de um core no Lab 107.



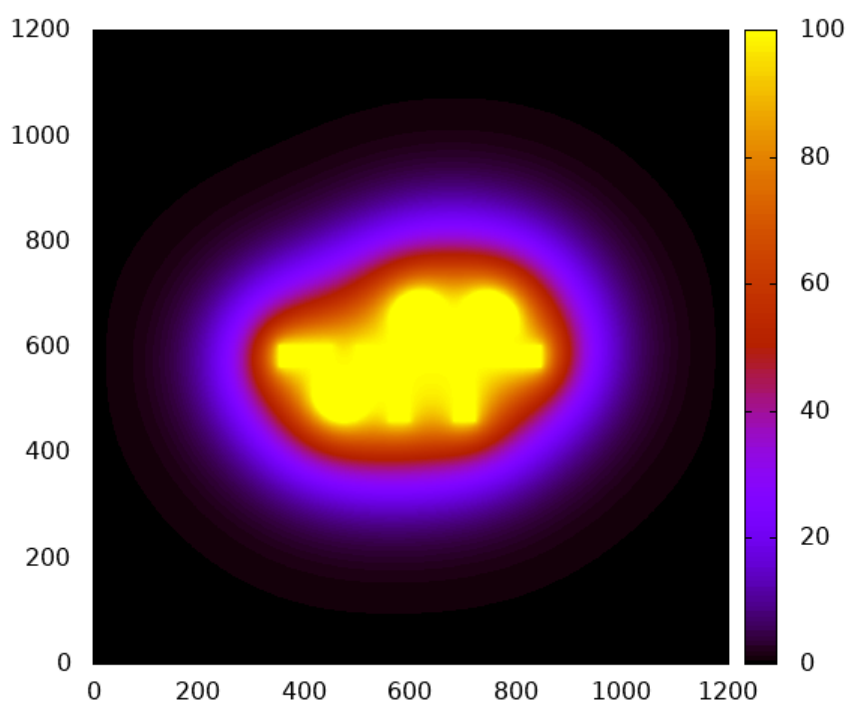
Fonte: Autor.

Figura 22 – Resultado com tolerância de  $10^{-1}V$ .



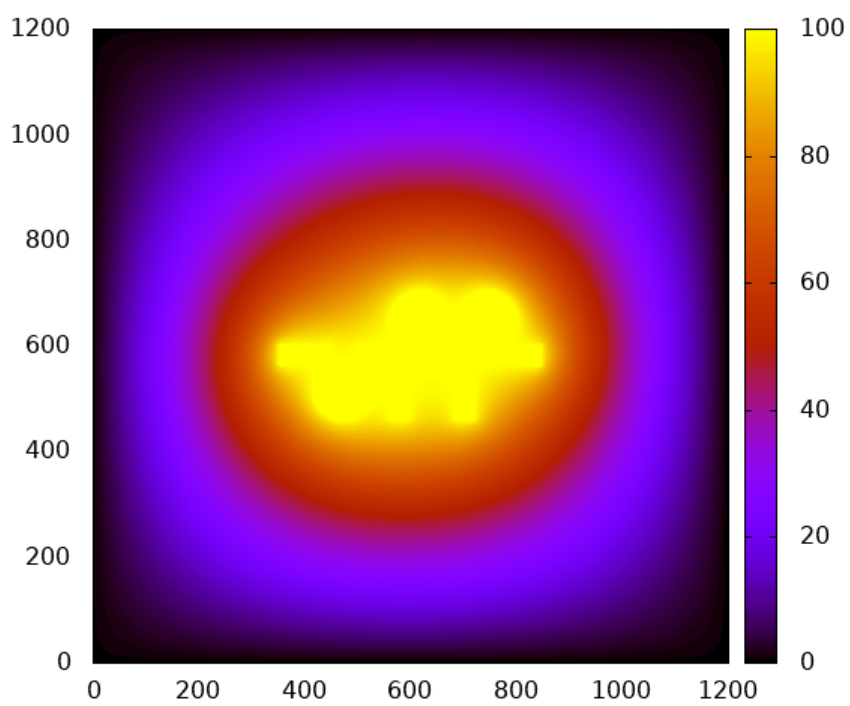
Fonte: Autor.

Figura 23 – Resultado com tolerância de  $10^{-3}V$ .



Fonte: Autor.

Figura 24 – Resultado com tolerância de  $10^{-5}V$ .



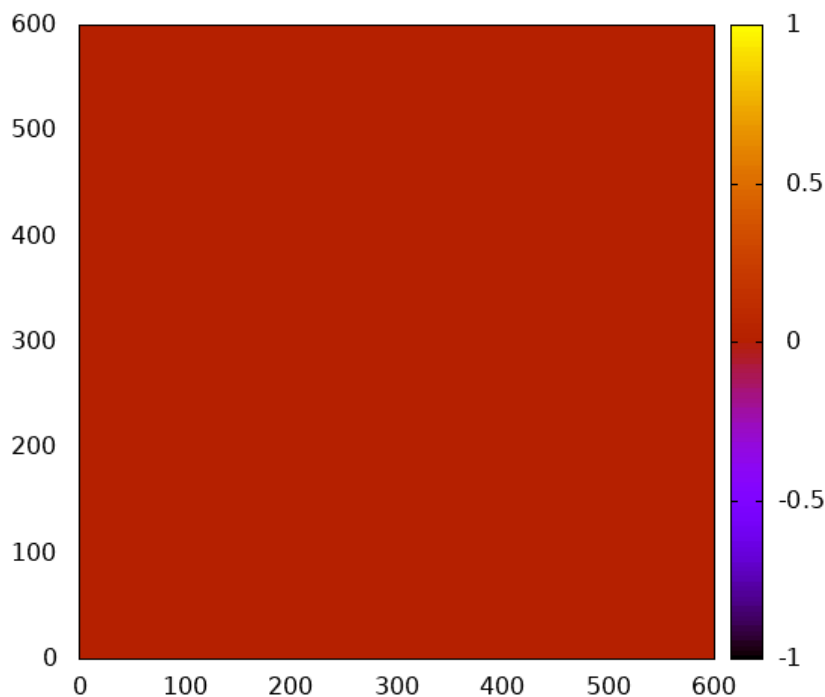
Fonte: Autor.



## 9 Validação dos Resultados

Tomando como referência o resultado obtido do programa na versão OpenMP, da diferença com o resultado em MPI, geramos o mapa de calor dado pela Figura 25. Portanto resultados numéricos idênticos.

Figura 25 – Diferença entre os resultados da versão em OpenMP e MPI.



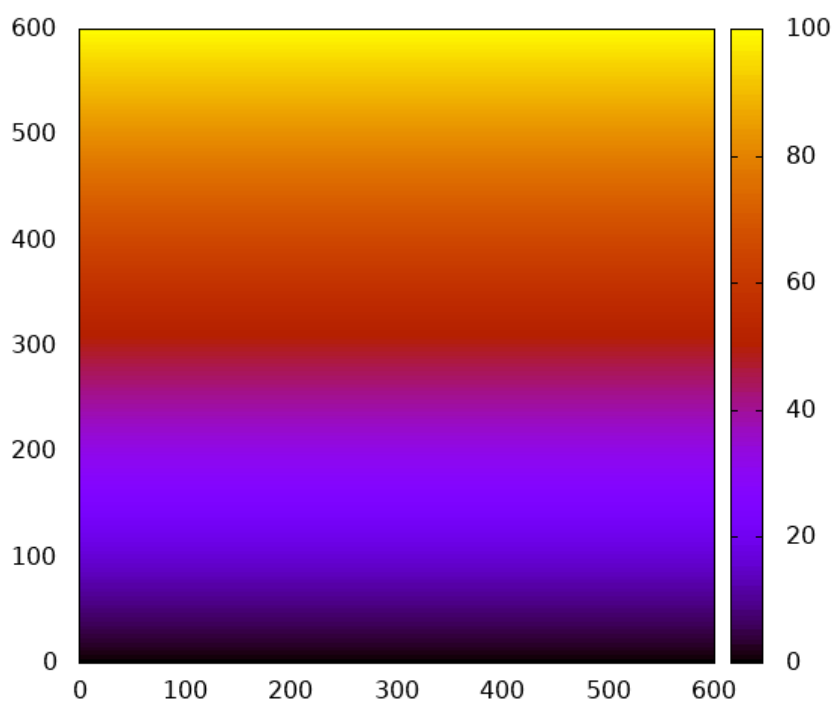
Fonte: Autor.

Para uma comparação do resultado do algoritmo utilizado com um resultado teórico conhecido, temos a Figura 26. Esta figura representa o potencial eletrostático de um sistema composto por uma placa em potencial constante (100V) e outra placa aterrada (0V), gerando-se assim o campo uniforme.

Da diferença entre o resultado teórico e o numérico, obtemos o mapa de calor dado pela Figura 27. Aqui podemos ver o comportamento difusivo do método do relaxamento junto das diferenças finitas, no qual a propagação da relaxação se dá das condições de contorno para os outros pontos. Resultado este que explica também o comportamento das Figuras 22, 23 e 24, onde era variado a tolerância da flutuação resultante do método da relaxação.

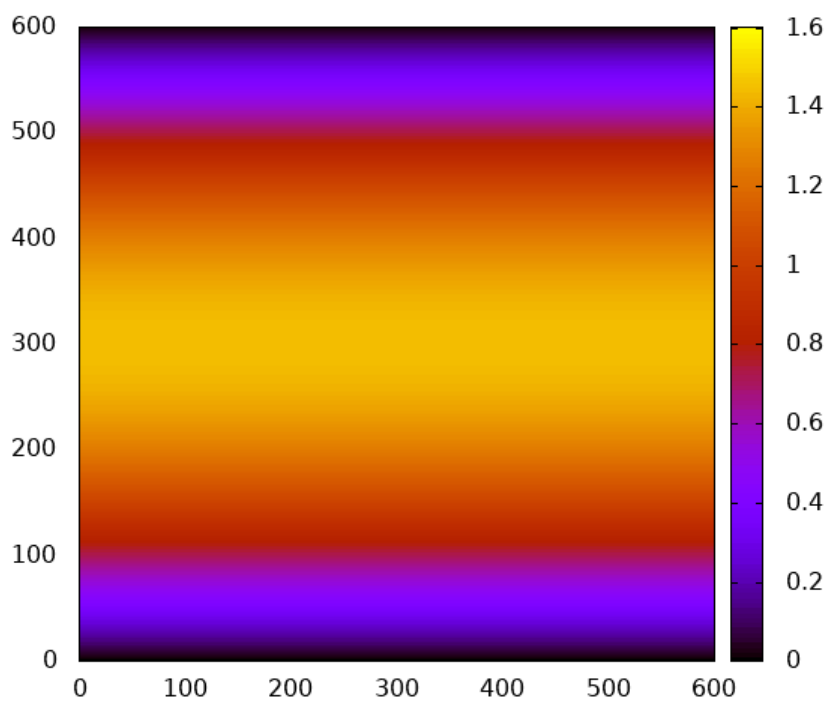
Outra característica interessante é quanto as simetrias que são compatíveis numa malha quadrícula. Como podemos ver na Figura 28 a simetria radial deste campo começa a se esvaír nas bordas da malha. Uma vez que neste problema o sistema deveria se estender

Figura 26 – Potencial de um sistema com uma placa a 100V e outra aterrada.



Fonte: Autor.

Figura 27 – Diferença entre o resultado teórico e o numérico.

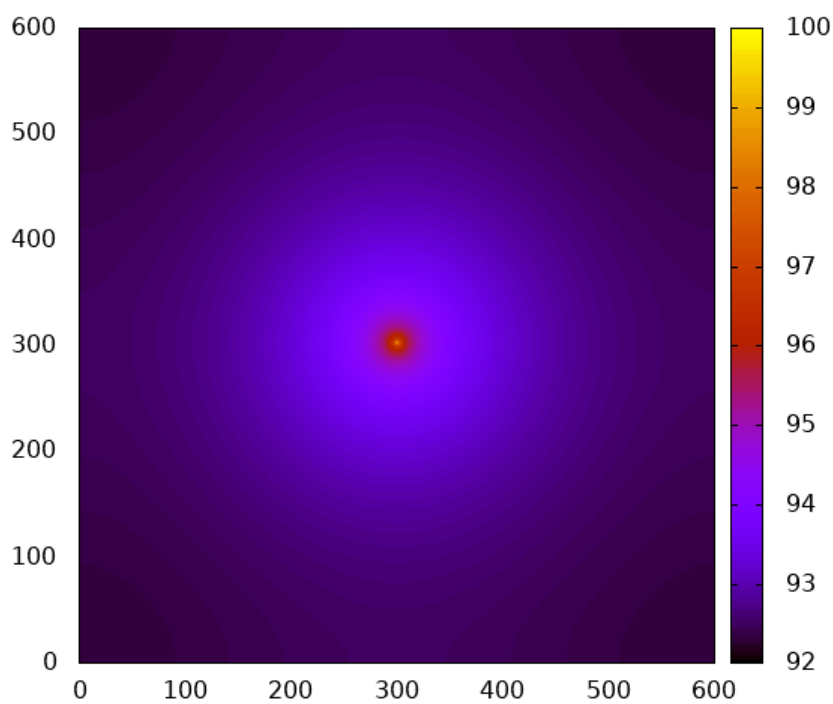


Fonte: Autor.

ao infinito, a forma comum de se contornar isso é de comunicar as laterais, opostas, entre si. Quando essa comunicação ocorre tanto no sentido vertical quanto no horizontal o

topologia dessa malha acaba adquirindo uma característica irregular.

Figura 28 – Resultado numérico de uma carga pontual dentro de uma malha quadrada.



Fonte: Autor.

## 10 Conclusão

Apesar da anomalia, quanto a escalabilidade, dos processadores dos computadores de uso comum (Lab107), é notável a agilidade que pode ser obtida através da paralelização de um código, quando este assim o permite.

É intrínseco ao Método das Diferenças Finitas a dependência dos dados com seus vizinhos, exigindo-se assim a comunicação entre aqueles que processam esses dados. Sendo o OpenMP baseado numa paralelização de memória compartilhada, os cores são capazes de acessar os mesmos espaços de memória de forma simultânea. Já o MPI possui o modelo de memória distribuída, sendo necessário uma comunicação entre os cores se assim for exigido pelo código.

Ao observar a escalabilidade da paralelização do MPI é possível notar uma perda de performance quando a divisão das tarefas é aumentada, ou seja, se dividirmos a tarefa em quantidade elevada a comunicação, que é intrínseca ao MPI, começa a se comportar como um gargalo.

Portanto conhecer o método numérico a ser utilizado é de vital importância para determinar as técnicas de otimização e de paralelização, de forma a obter um melhor resultado.

# Referências

FILHO, A. A. V. I. V. J. M. F. *MPI: uma ferramenta para implementação paralela*. 2002. Disponível em: <<https://doi.org/10.1590/S0101-74382002000100007>>. Acesso em: 25 jan. 2022. Citado na página 9.

LNCC. *Supercomputador Santos Dumont (SDumont)*. Disponível em: <[https://sdumont.lncc.br/support\\_manual.php?pg=support#1.1](https://sdumont.lncc.br/support_manual.php?pg=support#1.1)>. Acesso em: 10 set. 2021. Citado na página 12.

OPENMP. *About Us*. 2012. Disponível em: <<https://www.openmp.org/about/about-us/>>. Acesso em: 10 set. 2021. Citado na página 8.

OPENMP. *About Us*. 2012. Disponível em: <<https://www.openmp.org/resources/openmp-compilers-tools/>>. Acesso em: 10 set. 2021. Citado na página 8.

UFRGS. *Diferenças finitas*. 2020. Disponível em: <<https://ciencia.ufla.br/reportagens/mercado/655-ufla-e-pioneira-em-laboratorio-remoto-para-ensino-de-fisica>>. Acesso em: 2 set. 2021. Citado 2 vezes nas páginas 6 e 7.